

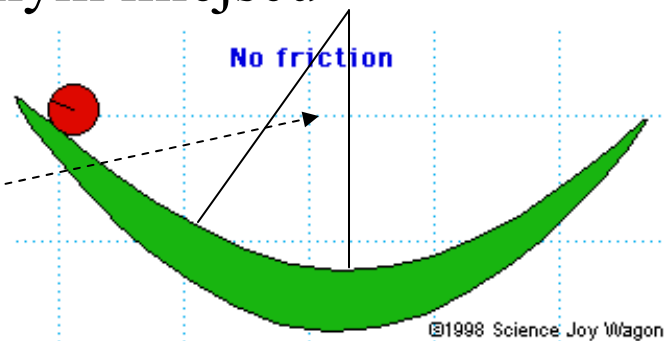


FALE

Drganie \longrightarrow dynamiczne zaburzenie równowagi układu
odbywa się w pewnym miejscu

Drgania - przykłady:

$$\varphi(t) = \varphi_m \cos(\omega_o t + \alpha),$$

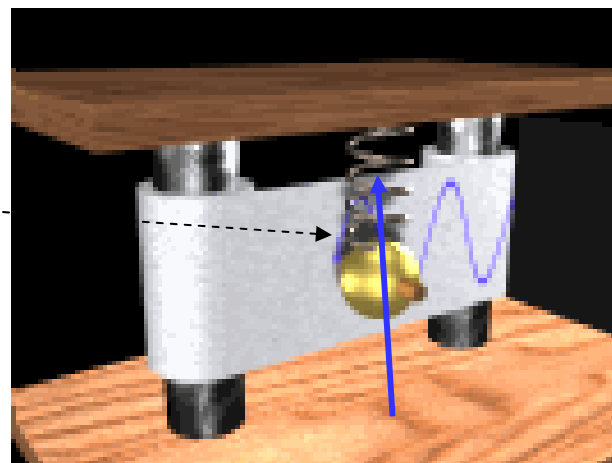


$$y(t) = x_m \cos(\omega_o t + \varphi),$$

także:

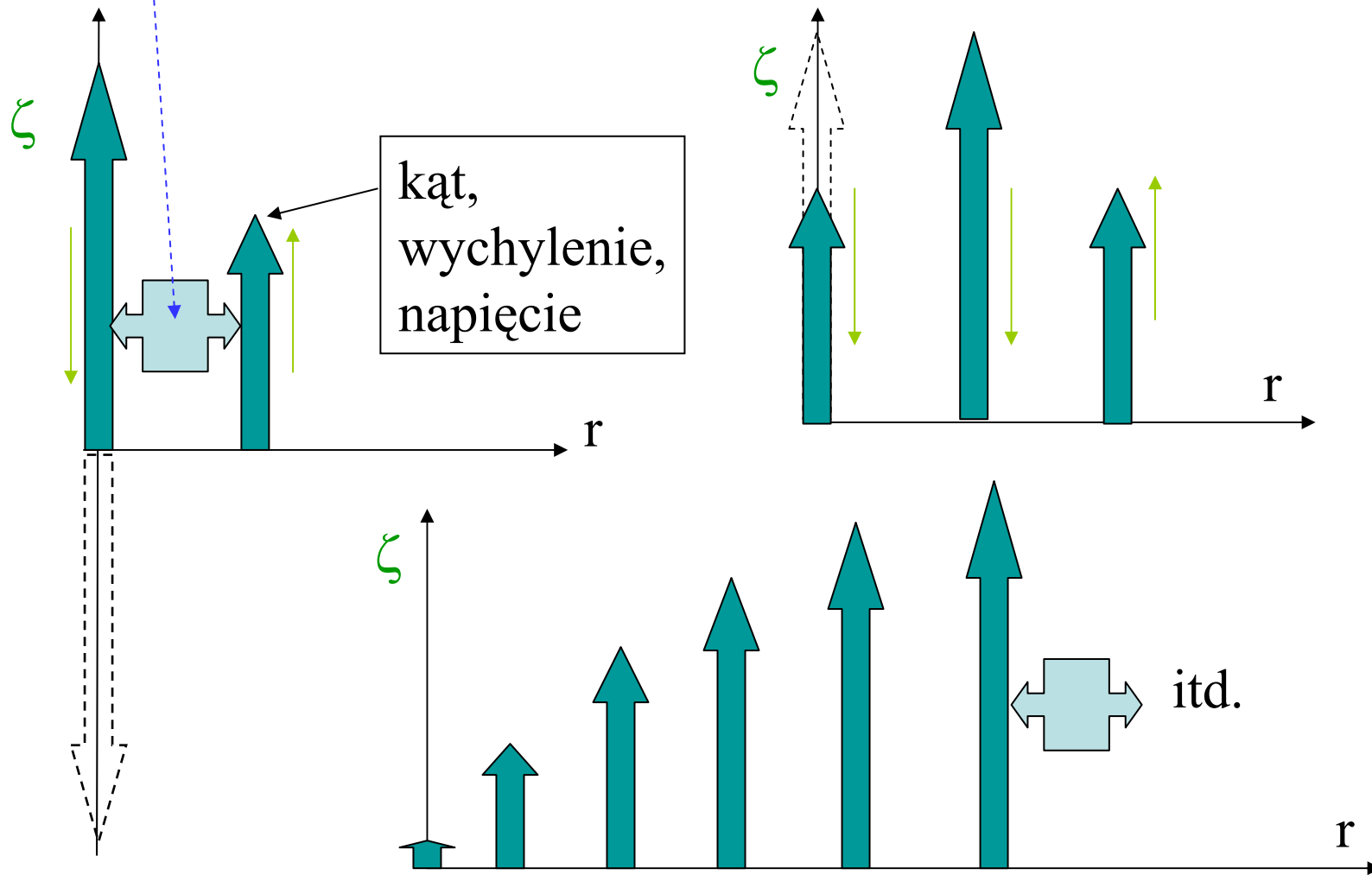
$$p(t) = p_m \cos(\omega t + \varphi),$$

$$U(t) = U_m \cos(\omega t + \varphi), \quad \text{itd.,}$$



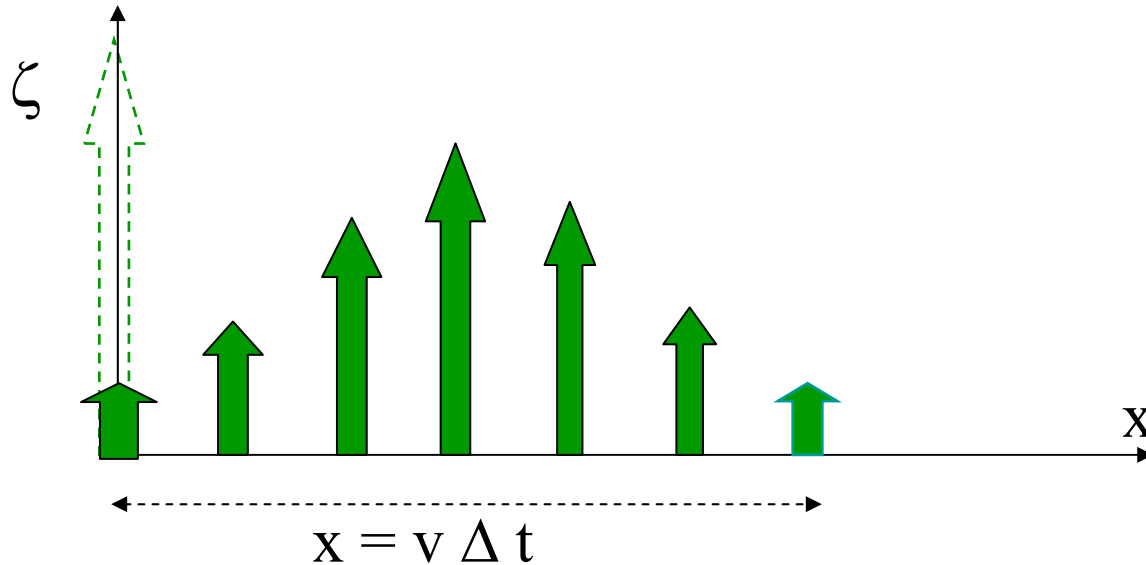
ogólnie zaburzenie : $\zeta(t) = \zeta_m \cos(\omega t + \varphi),$

Sprężenie → zaburzenie (drżanie) przenosi się w przestrzeni

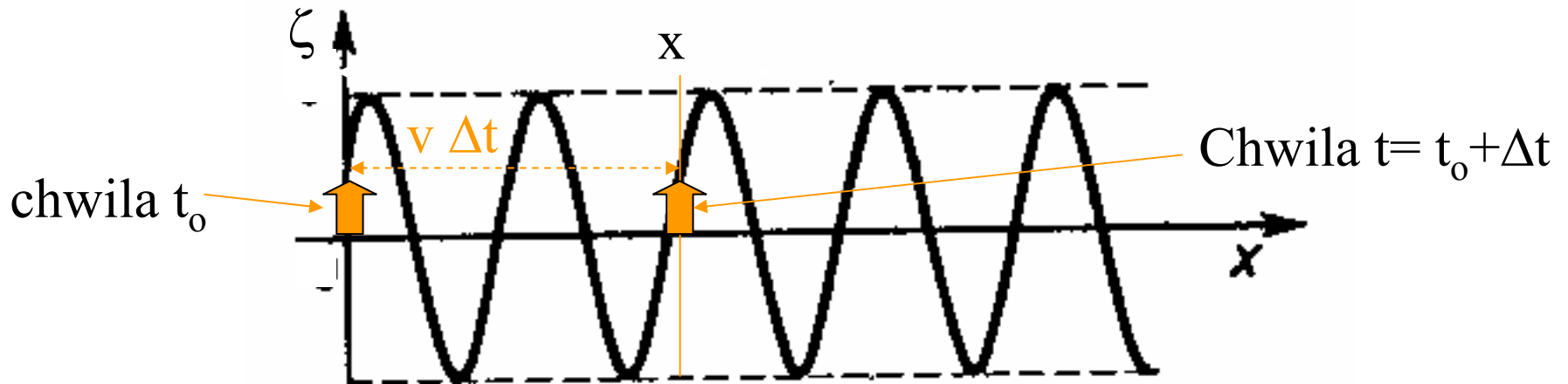


Zaburzenie rozchodzące się w przestrzeni = fala

Propagujące drganie harmoniczne → fala harmoniczna



*Niech drganie propaguje w kierunku Ox ,
i nie zależy od pozostałych współrzędnych y, z ;*



Jeśli propagujące drganie z prędkością v : $x = v \Delta t$
w początku układu współrzędnych $x = 0$ jest drganiem harmonicznym

$$\zeta(x=0, t) = a \cos(\omega t + \varphi),$$

przy czym w chwili t_0

$$\zeta(x=0, t_0) = \zeta_0 = a \cos(\omega t_0 + \varphi),$$

to w innym dowolnym punkcie x takie drganie (ζ_0) pojawi się po czasie
 $\Delta t = x/v$,

więc ζ w miejscu x będzie w czasie t takie,
jakie było ζ_0 w początku układu $x=0$ wcześniej, tj. w chwili

$$t_0 = (t - \Delta t) = (t - x/v),$$

czyli:

$$\zeta(x, t) = \zeta_0 \{x=0, t_0=(t-x/v)\}$$

Ponieważ

$$\zeta_0 = a \cos[\omega t_0 + \varphi] \quad (\text{drganie w } x=0),$$

i

$$t_0 = (t - x/v),$$



$$\zeta(x, t) = a \cos[\omega(t - x/v) + \varphi],$$

$$\zeta(x, t) = a \cos[\omega t - x(\omega/v) + \varphi],$$

Oznaczenie: $\omega/v = (= \frac{2\pi / T}{v} = 2\pi / T v) = 2\pi / \lambda = k$ - liczba falowa,



$$\zeta(x, t) = a \cos[\omega t - kx + \varphi]$$

- równanie fali

Definicje podstawowe

Definicja 1

Falą nazywamy zaburzenie pewnej wielkości $\zeta(x,y,z,t)$,
które rozchodzi się w przestrzeni z prędkością v

fala poprzeczna - zaburzenie przestrzennie zorientowane jest
prostopadle do kierunku propagacji fali,

fala podłużna - zaburzenie jest wzdłuż kierunku propagacji

Definicja 2

powierzchnią falową jest zbiór punktów przestrzeni objętej falą,
w których zaburzenie ma jednakową charakterystykę (fazę)

fala płaska - powierzchnią falową jest płaszczyzna

fala kulista - powierzchnia falowa jest sferyczna

Definicja 3

Długością fali periodycznej λ jest odległość, którą przebywa
powierzchnia falowa w czasie równym jednemu okresowi,

zatem

$$\lambda = v T,$$

lub

$$\lambda f = v \quad (T = 1/f)$$

Równanie harmonicznej fali płaskiej

propagującej wzdłuż osi x

$$\zeta(x,t) = a \cos[\omega t - kx + \varphi], \quad k = \omega/v,$$

powierzchnią falową tej fali jest zbiór wszystkich punktów takich, że

$$\textit{faza}: \quad [\omega t - kx + \varphi] = \text{const}$$

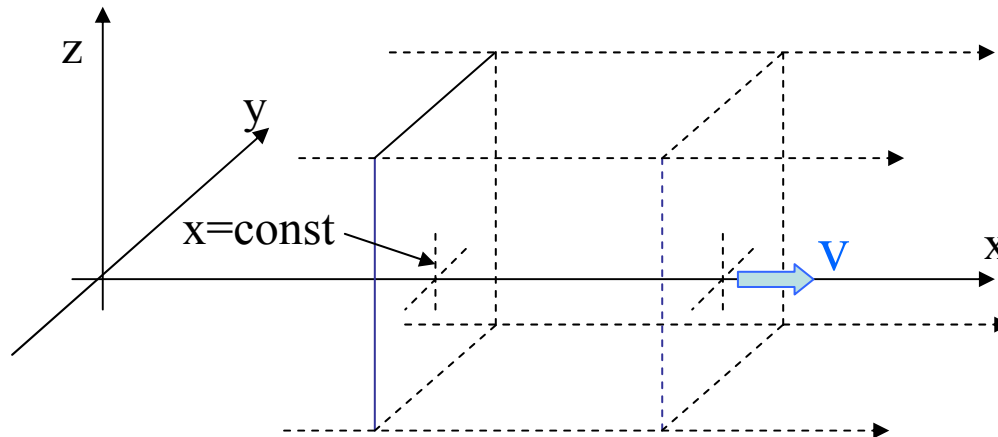
tj. w ustalonej chwili $t = \text{const} \Rightarrow$ jednakowe zaburzenie ζ jest
dla $x = \text{const}$, \Rightarrow płaszczyzna;

szybkość (przestrzennej) zmiany tej płaszczyzny (przesuwania się fazy)

to:

$$d(\textit{faza})/dt = \omega - k (dx/dt) = 0$$

$$\Rightarrow dx/dt = \boxed{\omega/k = v} \text{ - prędkość fazowa}$$



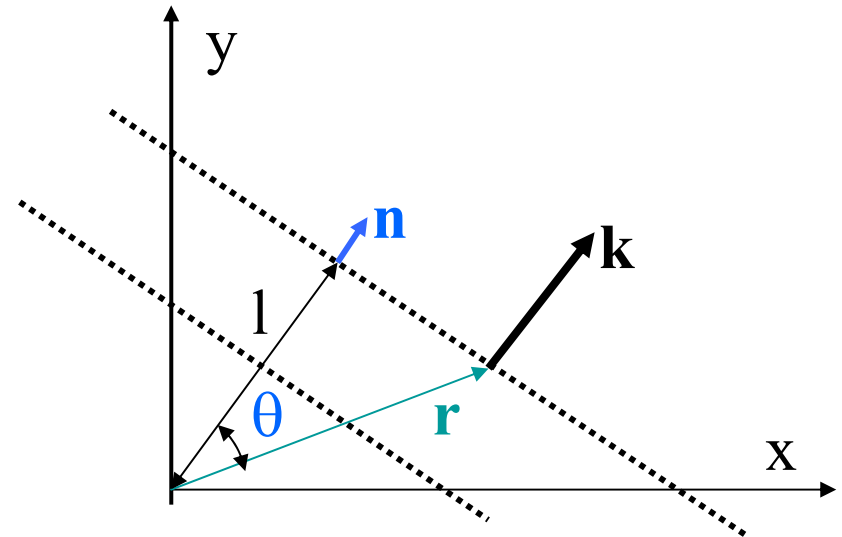
Propagacja fali płaskiej w dowolnym kierunku \mathbf{n} (l) (*fala niethumiona*)

$$\zeta(l, t) = a \cos[\omega t - k l + \varphi],$$

$$\zeta(\mathbf{r}, t) = a \cos[\omega t - k r \cos\theta + \varphi],$$

k – liczba falowa,

\vec{r} – promień wodzący



jeśli przyjmiemy $\vec{k} = k \vec{n}$,

\mathbf{n} – wersor kierunkowy fali,

$$\Rightarrow \zeta(\mathbf{r}, t) = a \cos[\omega t - \mathbf{k} \mathbf{r} + \varphi],$$

\mathbf{k} jest wektorem falowym normalnym do powierzchni falowej

$$\mathbf{k} = (k_x, k_y, k_z)$$

więc

$$\zeta(\mathbf{r}, t) = \text{Re}\{a e^{i(\omega t - \mathbf{k} \mathbf{r} + \varphi)}\},$$

lub

$$\zeta(\mathbf{r}, t) = a e^{i\varphi} e^{i(\omega t - \mathbf{k} \mathbf{r})} \quad (\text{cz. rzecz.})$$

W przypadku tłumienia

amplituda $a = a_0 e^{-\gamma x},$

$\gamma > 0$ – współczynnik tłumienia

$$\rightarrow \zeta(x,t) = a_0 e^{-\gamma x} \cos[\omega t - kx + \varphi],$$

lub dla dowolnego kierunku propagacji (\mathbf{k}):

$$\zeta(\mathbf{r},t) = a_0 e^{-(\gamma \mathbf{k} \cdot \mathbf{r} - i\varphi)} e^{i(\omega t - \mathbf{k} \cdot \mathbf{r})}$$

Równanie falowe

$$\frac{\partial^2 \zeta}{\partial t^2} = -\omega^2 a \cos(\omega t - \mathbf{k}\mathbf{r} + \alpha) = -\omega^2 \zeta,$$

$$\zeta(\mathbf{r}, t) = a \cos[\omega t - \mathbf{k}\mathbf{r} + \varphi],$$

$$\frac{\partial^2 \zeta}{\partial x^2} = -k_x^2 a \cos(\omega t - \mathbf{k}\mathbf{r} + \alpha) = -k_x^2 \zeta,$$

$$\frac{\partial^2 \zeta}{\partial y^2} = -k_y^2 a \cos(\omega t - \mathbf{k}\mathbf{r} + \alpha) = -k_y^2 \zeta,$$

$$\frac{\partial^2 \zeta}{\partial z^2} = -k_z^2 a \cos(\omega t - \mathbf{k}\mathbf{r} + \alpha) = -k_z^2 \zeta,$$

$$\frac{\partial^2 \zeta}{\partial x^2} + \frac{\partial^2 \zeta}{\partial y^2} + \frac{\partial^2 \zeta}{\partial z^2} = -(k_x^2 \zeta + k_y^2 \zeta + k_z^2 \zeta) = -k^2 \zeta = -\frac{1}{v^2} \omega^2 \zeta,$$

$$\left(\frac{\partial^2 \zeta}{\partial x^2} + \frac{\partial^2 \zeta}{\partial y^2} + \frac{\partial^2 \zeta}{\partial z^2} \right) = \frac{1}{v^2} \frac{\partial^2 \zeta}{\partial t^2} \quad \leftarrow -\omega^2 \zeta,$$

$$\Delta \zeta = \frac{1}{v^2} \frac{\partial^2 \zeta}{\partial t^2}$$

Δ - operator Laplace'a (laplasjan)

Jedno z rozwiązań (*już znane*)

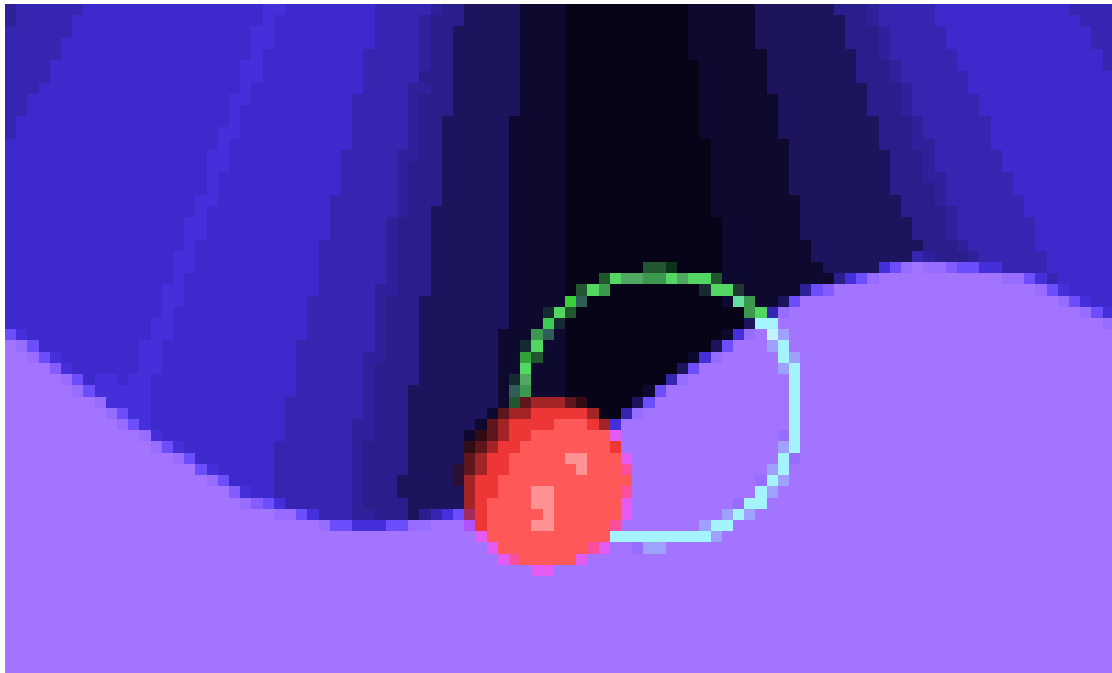
$$\zeta(\mathbf{r},t) = a e^{-i\varphi} e^{i(\omega t - \mathbf{k}\mathbf{r})} - \text{równanie fali harmonicznej,}$$

płaskiej

Również każda funkcja (*różniczkowalna*) o postaci:

$$f(\omega t - \mathbf{k}\mathbf{r})$$

opisuje pewną falę.



Energia harmonicznej fali płaskiej (sprężystej)

$$\zeta(x,t) = a \cos[\omega t - kx + \varphi]$$

– opisuje wychylenie cząstek ośrodka

$$\Delta W_{\text{kin}} = 1/2 (\Delta m) (\mathbf{v})^2 = 1/2 (\rho \Delta V) (d\zeta/dt)^2, \Rightarrow$$

$$\Delta W_{\text{kin}} = 1/2 \rho \Delta V (a \omega)^2 \sin^2 (\omega t - kx + \varphi),$$

$$w_{\text{kin}} = \Delta W_{\text{kin}} / \Delta V = 1/2 \rho (a \omega)^2 \sin^2 (\omega t - kx + \varphi),$$

Dla drgań harmonicznych niethumionych

$$E_c = E_{\text{kin}} + U = 2 \langle E_{\text{kin}} \rangle \quad [\text{lub} \quad E_c = (E_{\text{kin}})_{\text{max}}]$$

Zatem

$$w_c = \rho (a \omega)^2 \langle \sin^2 (\omega t - kx + \varphi) \rangle,$$

$$\langle w_c \rangle = 1/2 \rho \underline{a^2 \omega^2}$$

Definicja 4

Strumień energii Φ przez powierzchnię S jest to ilość energii przenoszona przez tę powierzchnię w jednostce czasu

$$\Phi = dW/dt \quad [\text{Wat}]$$

Definicja 5

Natężeniem fali I nazywamy uśrednioną powierzchniową gęstość prostopadłego strumienia energii Φ_{\perp}

$$I = \langle d\Phi/dS_{\perp} \rangle \quad [\text{W/m}^2] ;$$

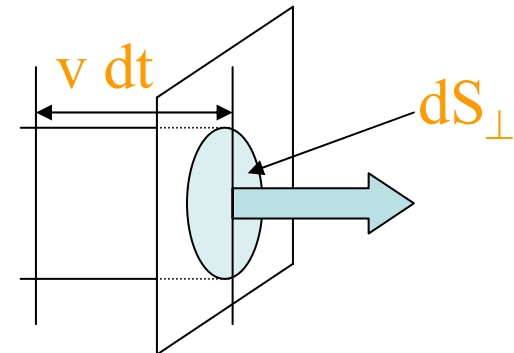
$$\langle \Phi \rangle = \int_S I \, dS$$

$$I = \langle dW / (dS_{\perp} dt) \rangle ,$$

ale
$$dW = w \, dV = w \, dS_{\perp} v \, dt$$

$$\vec{I} = \langle w_c \rangle \vec{v}$$

zatem
$$\langle \Phi \rangle = \int_S \langle w_c \rangle v \, dS$$

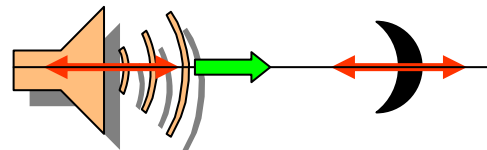


EFEKT DOPPLERA

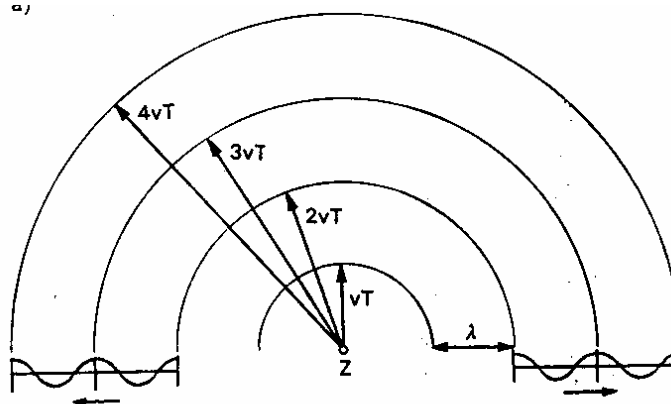
(dla fal sprężystych – np. dźwiękowych)

Niech źródło dźwięku (z) i odbiornik (o) poruszają się wzdłuż łączącej je prostej Ox z prędkościami

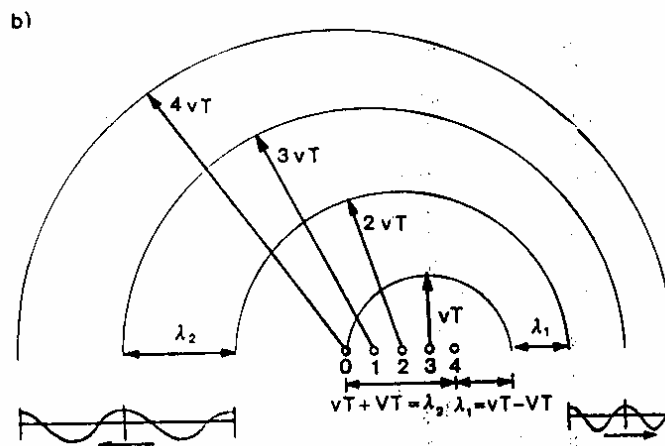
$(+v_z)$ gdy się zbliżają i $(-v_z)$ gdy się oddalają,
 $(+v_o)$ „ „ $(-v_o)$ „ „



t.zn $v_z > 0$ gdy **źródło**
porusza się zgodnie z
kierunkiem dźwięku
i $v_z < 0$ gdy przeciwnie;
odwrotnie dla **odbiornika**



źródło stojące

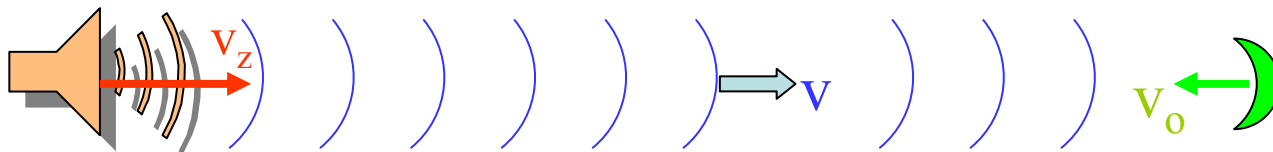


źródło w ruchu

Źródło o prędkości $(+ v_z)$ i częstotliwości (f_z) wzbudza w ośrodku falę biegnącą z prędkością (v) o długości (λ') :

$$\lambda' = (T)(v - v_z) = (1/f_z)(v - v_z)$$

$[(v - v_z) - \text{prędkość fali względem poruszającego się źródła}]$



Odbiornik poruszając się z prędkością $+ v_o$ względem ośrodka odbiera f_o drgań w ciągu 1 sekundy:

$$f_o = \frac{\Delta s_{1s}}{\lambda'} = \frac{1[s]}{\lambda'}(v + v_o) \quad (f = 1/T = v/\lambda)$$

Stąd

$$f_o = f_z \frac{(v + v_o)}{(v - v_z)}$$

$$f_o = f_z \frac{(v + v_o)}{(v - v_z)}$$

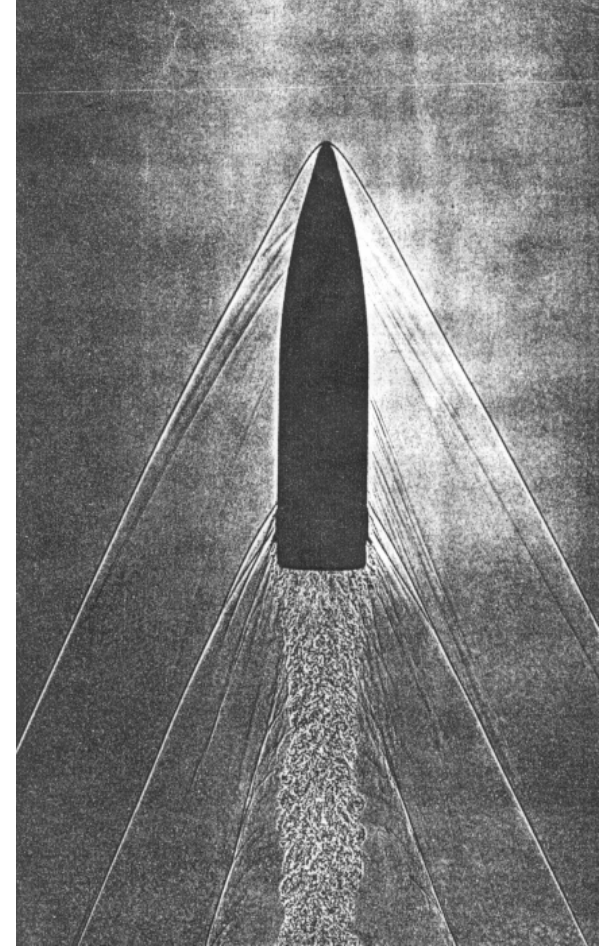
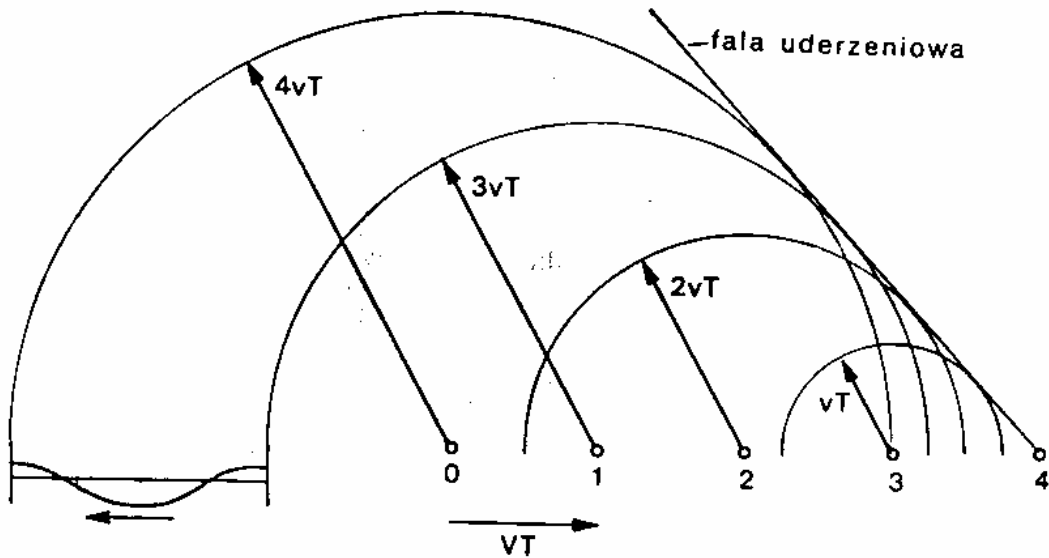
Wniosek

W przypadku, gdy odbiornik i źródło **zblizają się** ($+v_o, +v_z$),
odbierana częstotliwość f_o jest wyższa
od częstotliwości emitowanej (źródła) – **dźwięk jest wyższy**

gdy odbiornik i źródło **oddalają się** ($-v_o, -v_z$),
odbierana częstotliwość f_o jest niższa od emitowanej –
dźwięk jest niższy

a dla $v = v_z$?

Fala uderzeniowa



Uwaga 4

Dla innych kierunków prędkości odbiornika i źródła (v_o , v_z) do wzoru należy wstawić rzuty tych prędkości na wspólną oś na której leżą

Uwaga 5

Efekt Dopplera obserwowany jest również dla fal świetlnych, jednak zależność na zmianę częstotliwości jest inna

Fale stojące

Superpozycja 2 fal płaskich

$$\zeta_1 = a_1 \cos[\omega t - kx + \varphi_1], \quad \zeta_2 = a_2 \cos[\omega t + kx + \varphi_2],$$

biegnących w przeciwne strony (+x) i (-x):

niech $a_1 = a_2$

$$\zeta = \zeta_1 + \zeta_2 = 2a \{ \cos[kx + (\varphi_1 - \varphi_2)/2] \cos[\omega t + (\varphi_1 + \varphi_2)/2] \}$$

przesunięcie początku układu Oxt o $\Delta x = -(\varphi_1 - \varphi_2)/(2k)$

i $\Delta t = -(\varphi_1 + \varphi_2)/(2\omega)$

$$\zeta = 2a \cos(kx) \cos(\omega t)$$

lub
$$\zeta = [2a \cos(2\pi x/\lambda)] \cos(\omega t)$$

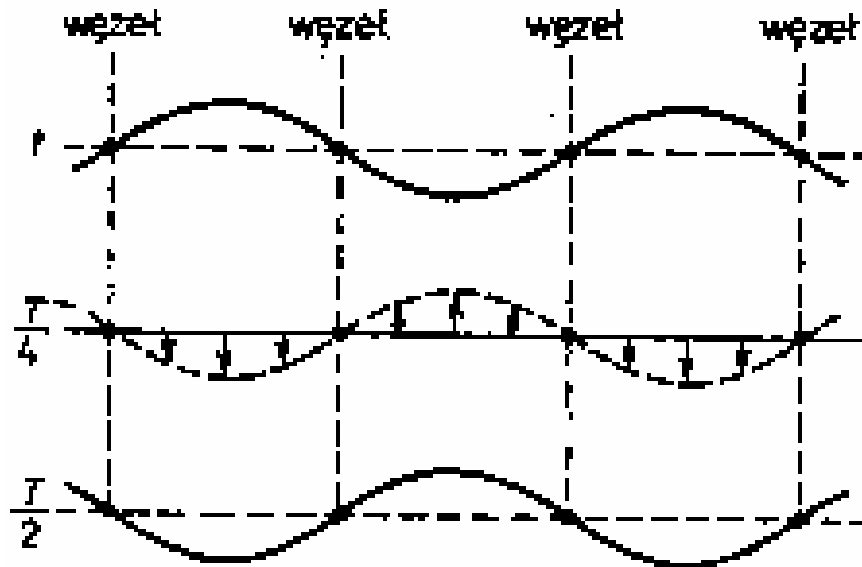
gdzie amplituda $|2a \cos(2\pi x/\lambda)|$

brak związku ($x \longleftrightarrow t$) ! $\longrightarrow v=0$

amplituda $|2a \cos (2\pi x/\lambda)|$

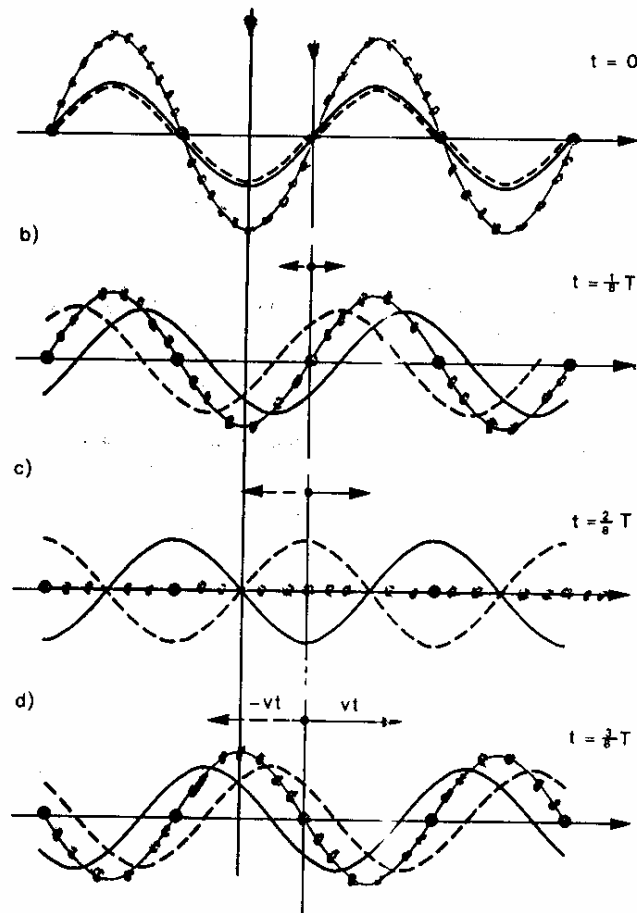
- ma wartość maksymalną dla $(2\pi x/\lambda) = \pm n \pi$ ($n = 0, 1, 2, 3, \dots$)
czyli dla $x_s = \pm n (\lambda/2)$ (*strzałki*)
- i minimalną dla $2\pi x/\lambda = \pm(n+1/2) \pi$ ($n = 0, 1, 2, 3, \dots$)
 $x_w = \pm(n + 1/2) \lambda/2$ (*węzły*)

niezależnie od chwili t !



Uwaga

1. Fala stojąca nie przenosi energii ($v=0$).
2. W fali stojącej następuje cykliczna zamiana energii kinetycznej na potencjalną i odwrotnie
3. Chwilowy strumień energii fali przepływa od węzła do strzałki i z powrotem, ale średni strumień jest zerowy



Fala stojąca w strunie

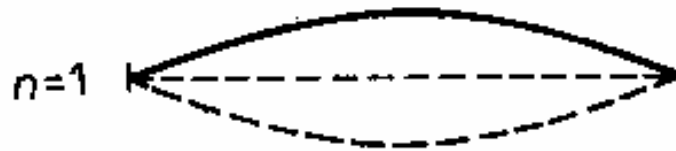
Struna zamocowana na obu końcach - powstają tam odbicia i węzły fali stojącej, stąd długość struny l musi spełniać warunek :

$$l = n \lambda/2, \quad (n=1,2,3,\dots)$$

w strunie mogą pojawiać się tylko takie długości fal, że:

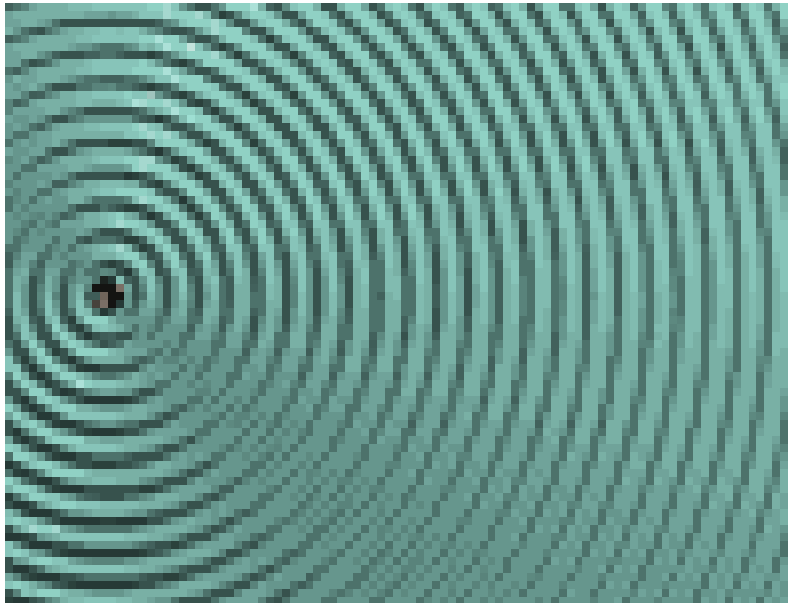
$$\lambda_n = 2l/n$$

lub częstotliwości: $f_n = v/\lambda_n$, $\rightarrow f_n = n \frac{v}{2l}$,
(v -prędkość fali)



Dźwięk

- ◆ Jest falą sprężystą podłużną lub poprzeczną o częstotliwości $16 \div 20\,000\text{ Hz}$ [1/s]
- ◆ Takie fale o częstotliwościach mniejszych od 16 Hz to **infradźwięki**
- ◆ Powyżej 20 000 Hz to **ultradźwięki i hiperdźwięki**

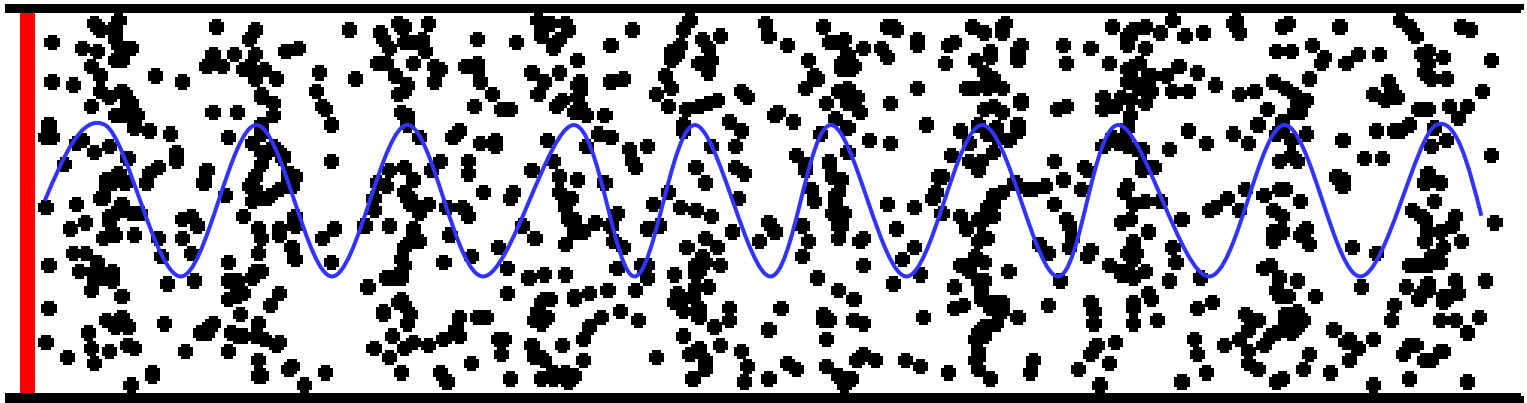


Prędkość dźwięku w powietrzu

$$v = \sqrt{\chi RT/M},$$

$\chi = C_p/C_v$, $M = \text{masa molowa gazu}$

dla $T = 290\text{K}$ \longrightarrow $v = 340\text{ m/s}$

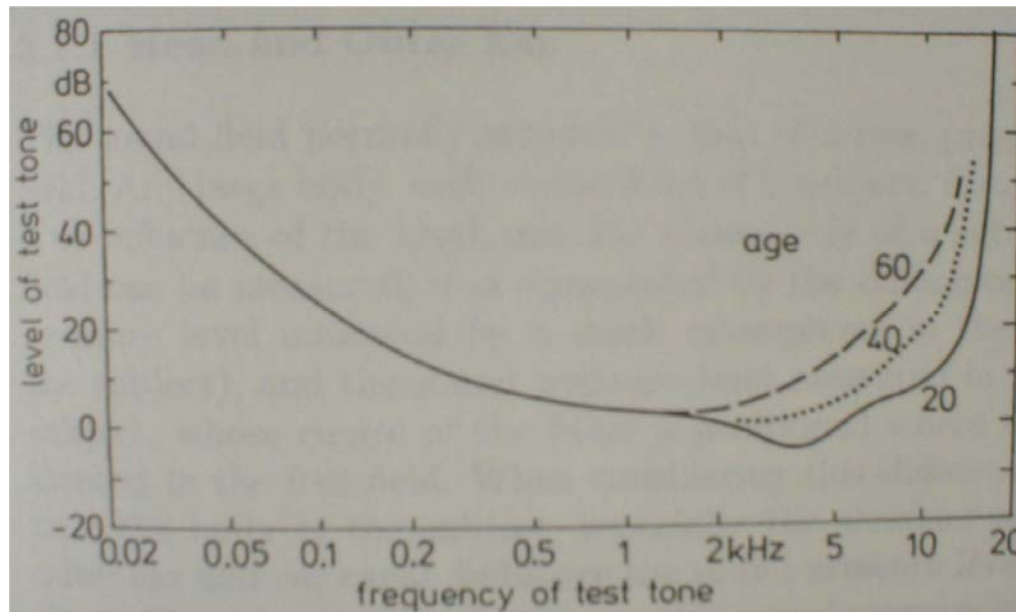


Próg słyszalności to natężenie $I_0 = 10^{-12} \text{ W/m}$
(w zakresie $1000 \text{ Hz} \div 4000 \text{ Hz}$)

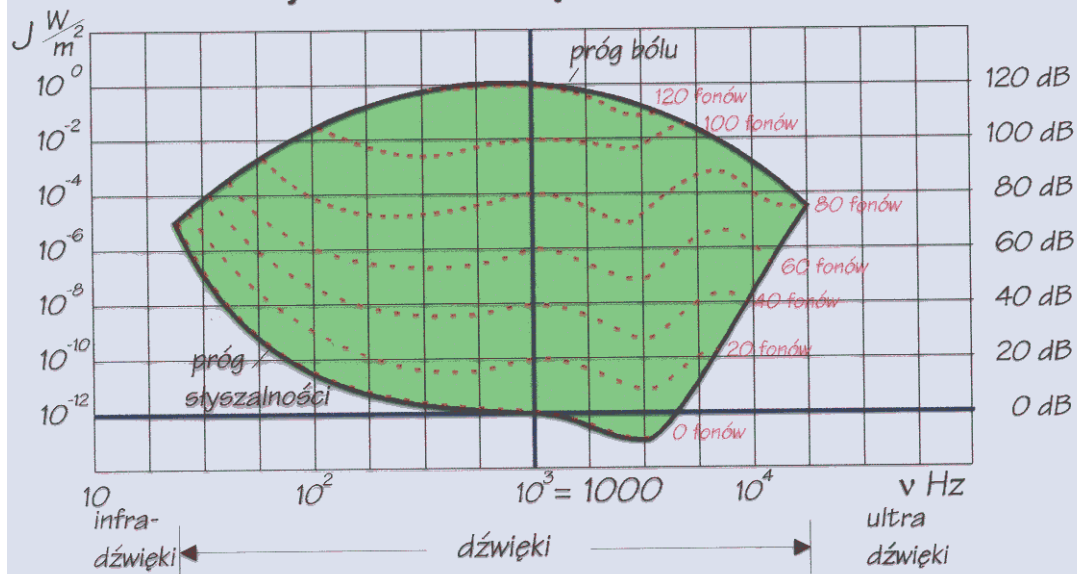
Poziom głośności $L = \lg (I/I_0)$ [B] (*beli*)
lub $L = 10 \lg (I/I_0)$ [dB] (*decybeli*)

Podobnie natężenie względne (stosunek dwóch natężeń)
 $L_{12} = 10 \lg (I_1/I_2)$ [dB] (*decybeli*)

Słyszalność w zależności od wieku



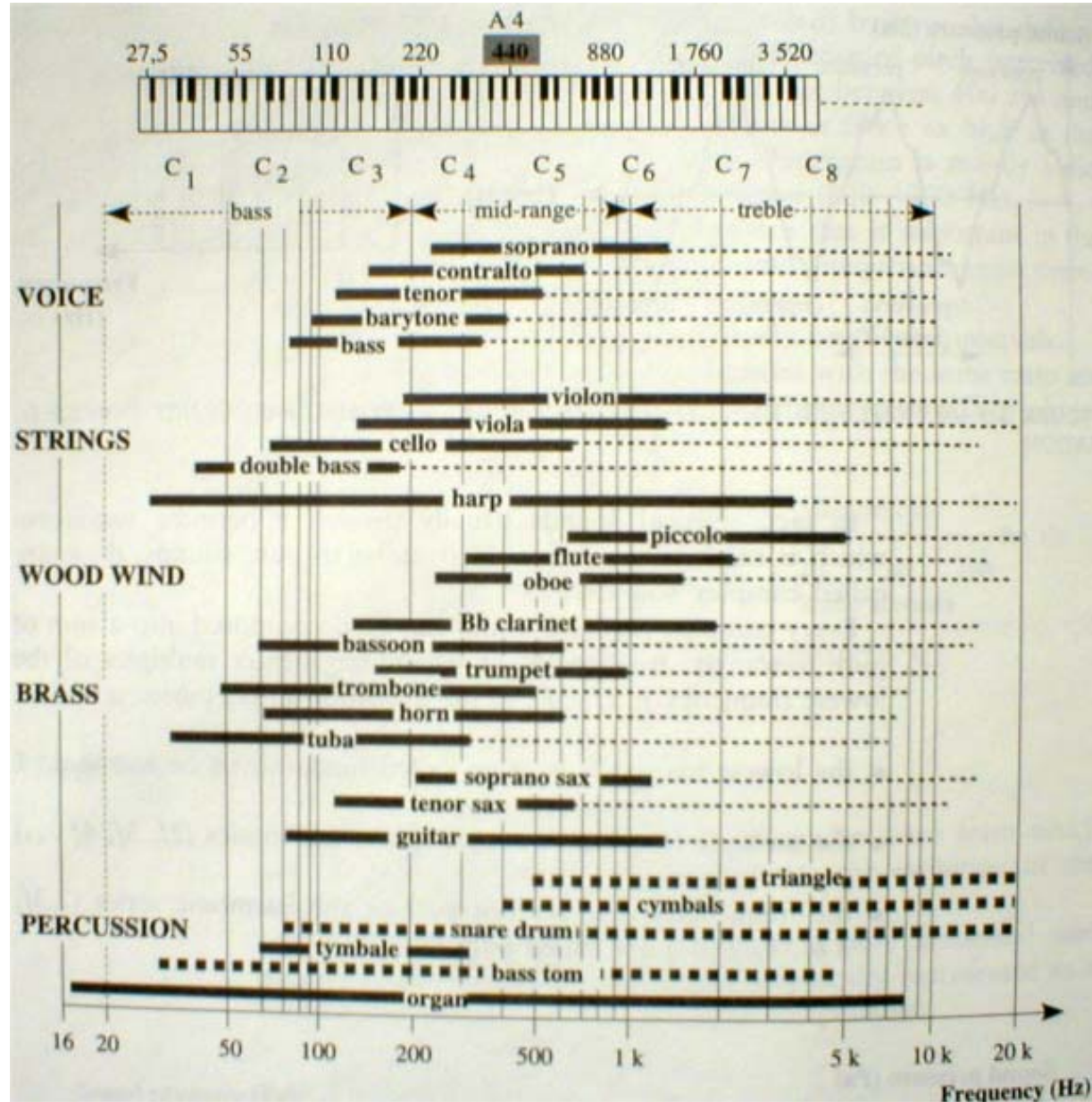
Obszar słyszalności dźwięków dla ucha ludzkiego



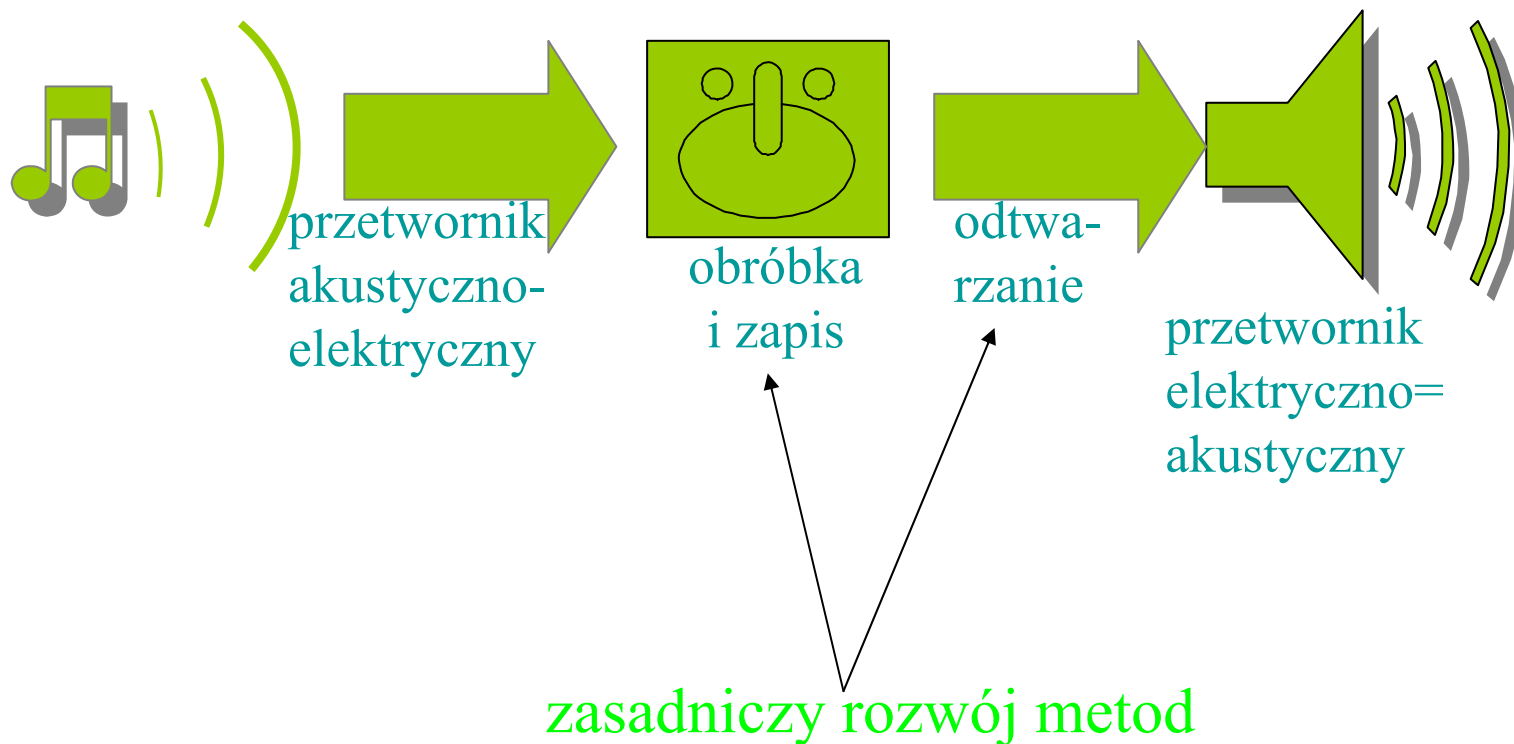
Przykłady różnych dźwięków

Źródło dźwięku (odległość od źródła)	Natężenie I (W/m^2)	Poziom natężenia L (dB)
Szept (1m)	10^{-12}	0
Niegłośna rozmowa (1 m)	10^{-8}	40
Krzyk (1 m)	10^{-5}	70
Orkiestra symfoniczna (5 m)	10^{-4}	80
Młot pneumatyczny (1 m)	10^{-2}	100
Ryk odrzutowca (20 m)	1	120

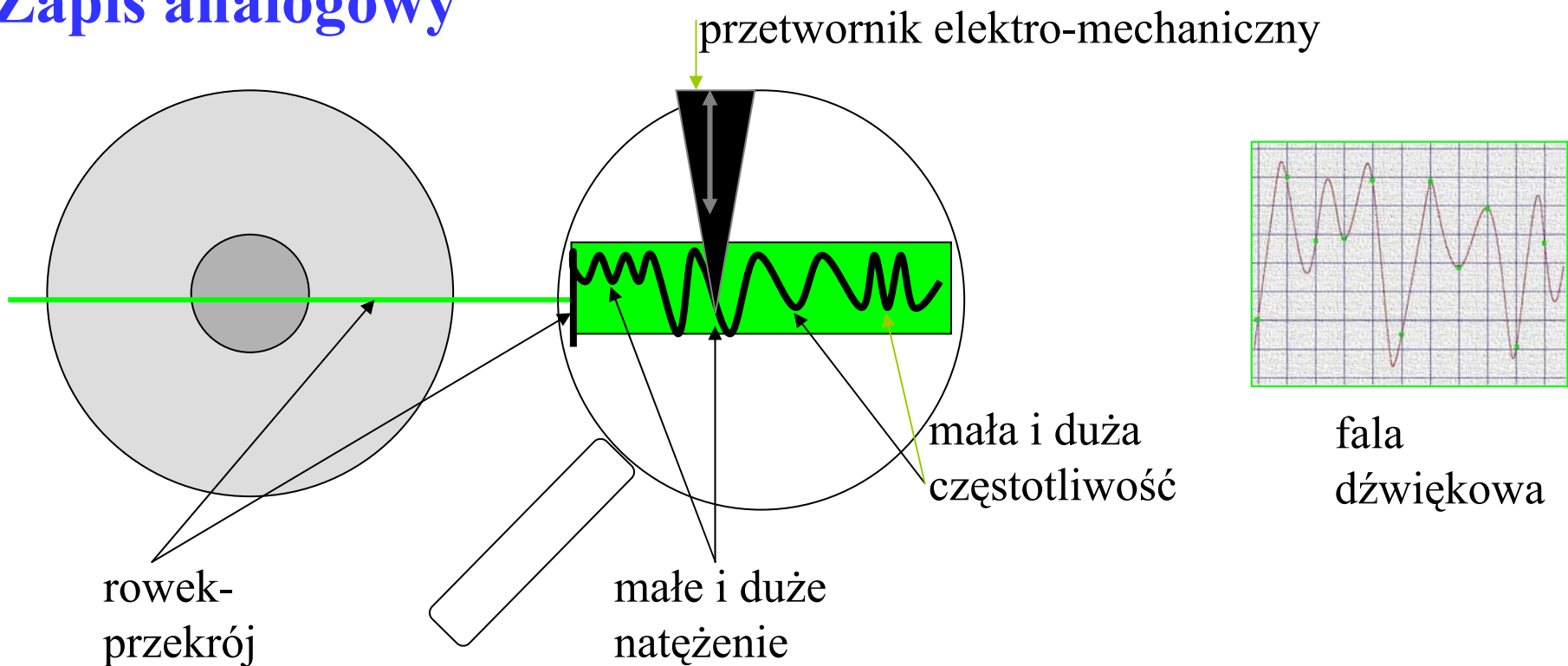
Zakresy częstotliwościowe instrumentów muzycznych



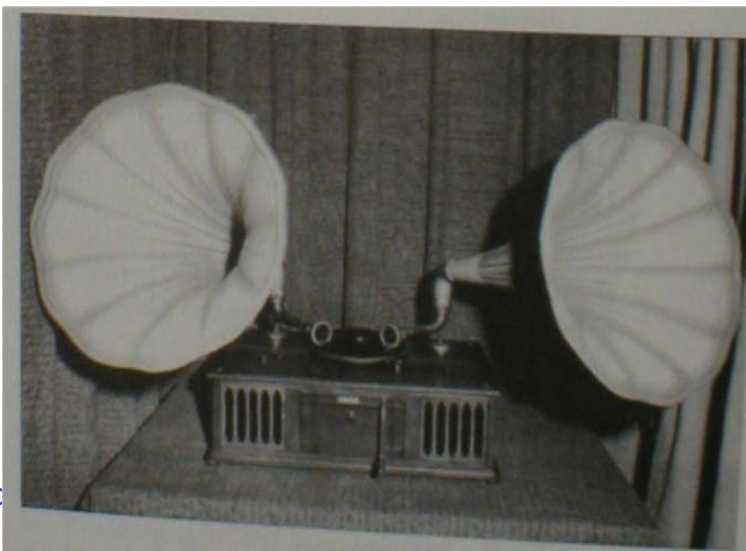
Technika rejestracji dźwięku (zapis dźwięku)



Zapis analogowy

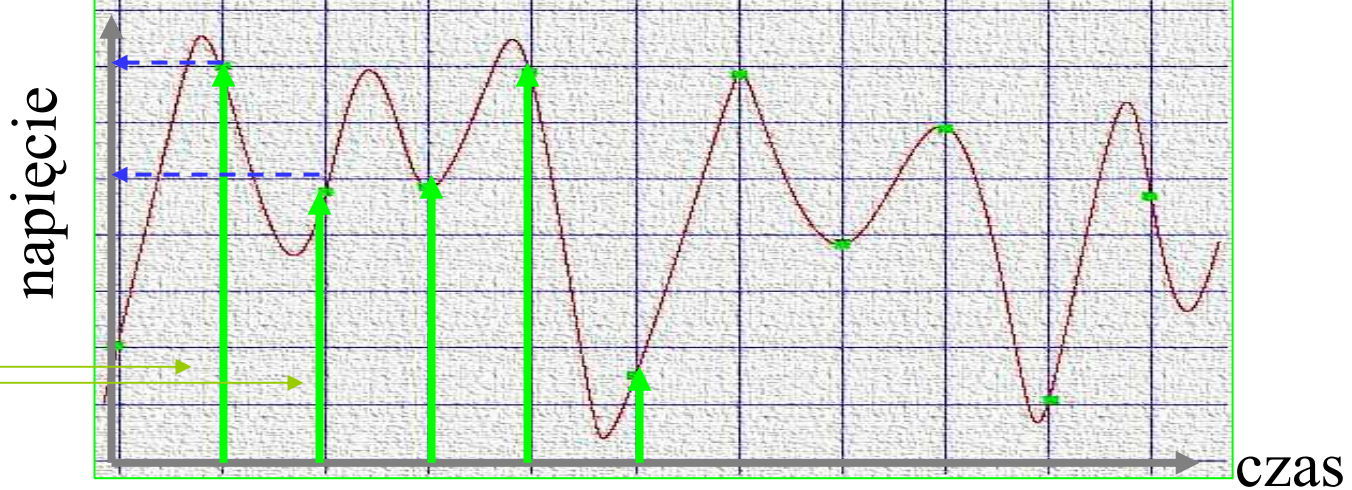


Odtwarzanie
dynamika:
~56 dB
ograniczenie
częstotliwości:
<25Hz, 15 kHz>



Zapis cyfrowy

„próbki” –
chwilowy pomiar
napięcia



Przetwornik AD 8-bitowy: napięcie \longrightarrow liczba binarna ośmiopozycyjna:

0	0	0	0	0	0	0	0
---	---	---	---	---	---	---	---

 \longrightarrow

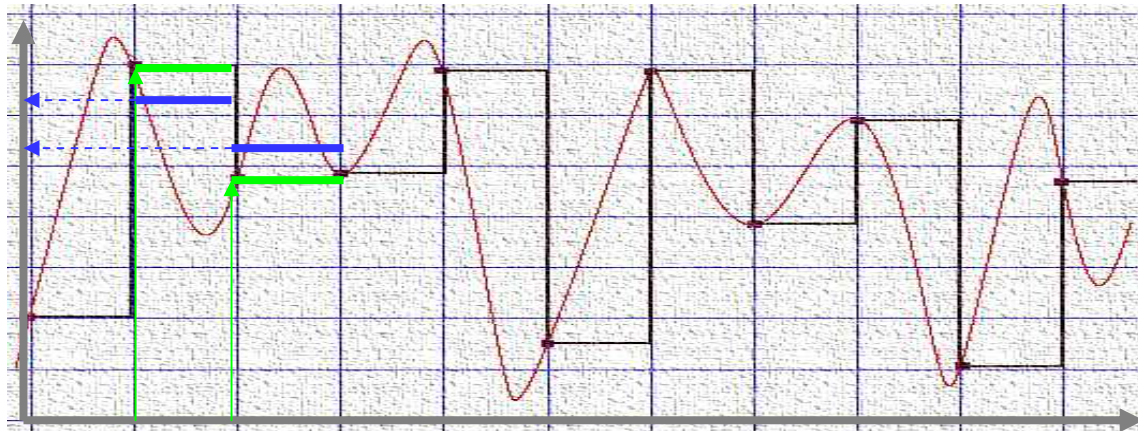
1	1	1	1	1	1	1	1
---	---	---	---	---	---	---	---

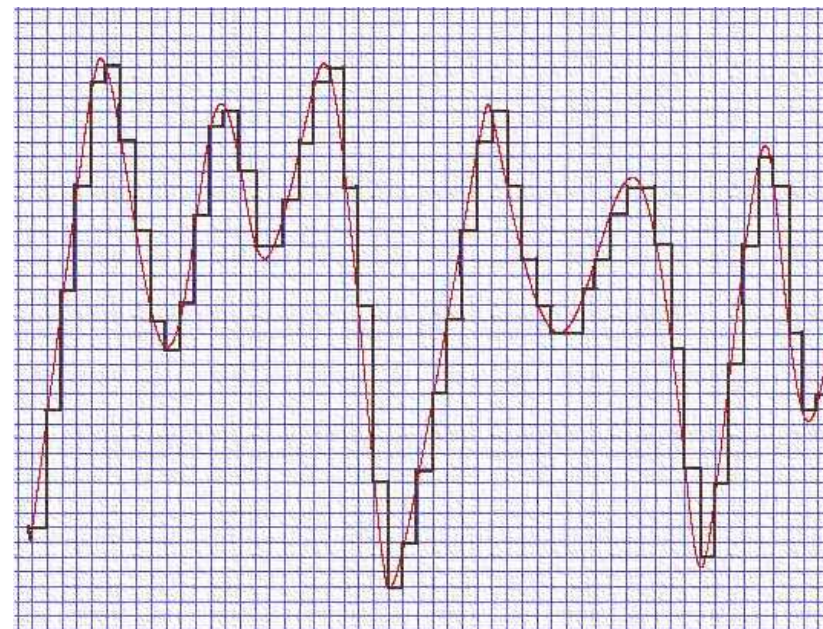
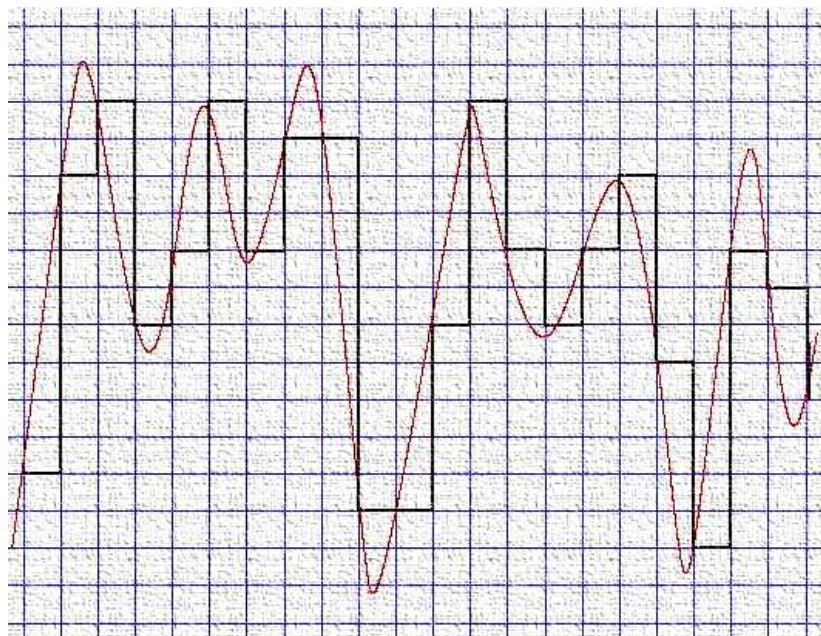
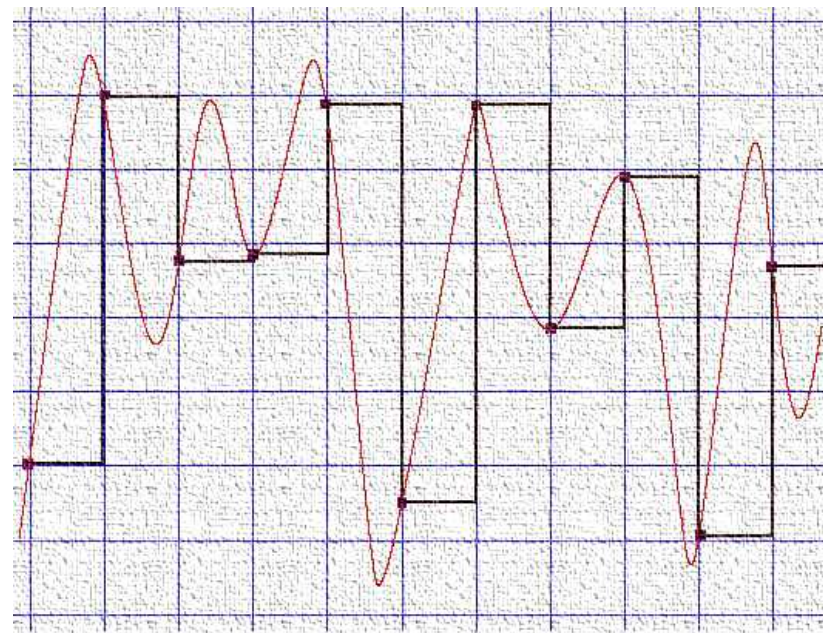
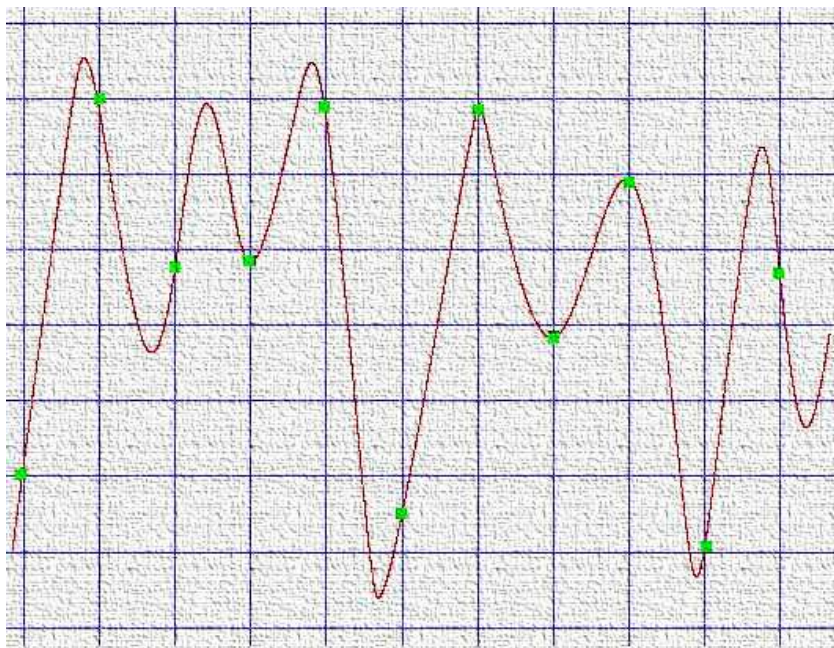
 = 256 liczb

Typowy zakres napięcia: $0 \div 5V$ / 256 $\longrightarrow \approx 40 \text{ mV}$ / 1 liczbę;

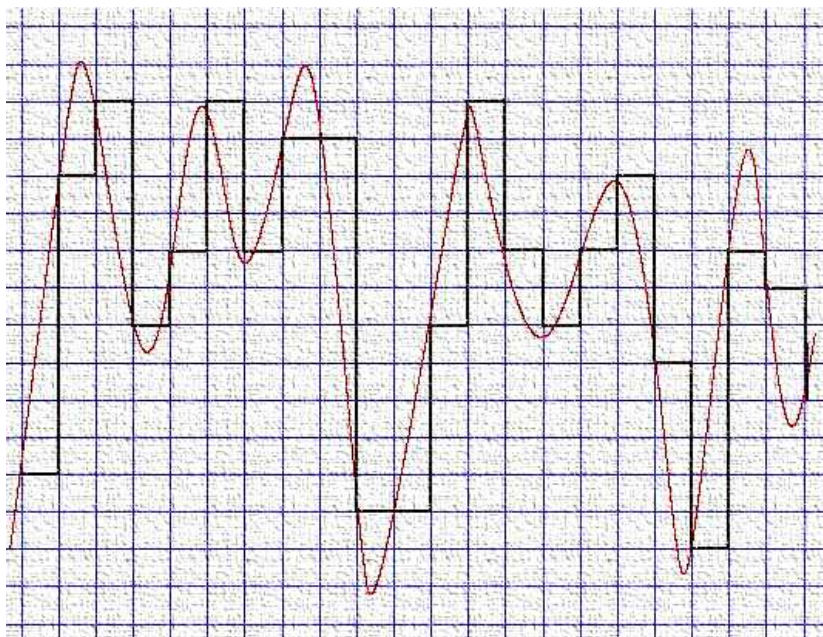
Przetwornik DA : liczba binarna \longrightarrow napięcie:

napięcie **4015mV** zostanie
przyporządkowane liczbie
reprezentującej **4000mV**,
a napięcie **4025 mV**
liczbie **4040mV**





Poprawa jakości przez zwiększenie częstotliwości próbkowania
i zmniejszenie „kroku” napięcia (tj. zwiększenie ilości liczb
do dyspozycji przetwornika)



Typowa częstotliwość próbkowania – 44,1 kHz,
przetwornik 16-bitowy, $\longrightarrow 44100 \times 16 \times 2 = 1411 \text{ kb/s} \approx 10,3 \text{ Mb/s}$
 \longrightarrow kodowanie, np. MPEG Audio Layer 3,4 (MP3,4)

Zakres częstotliwości $\langle 0, 20\,000 \text{ Hz} \rangle$, dynamika: do 100 dB

Ultradźwięki

Cagnard de la Tour , 1819 , wytwarza ultradźwięki za pomocą syreny

Langevin , 1917, elektroniczna generacja i detekcja ultradźwięków

Fale sprężyste podłużne lub poprzeczne

Zakres częstotliwości powyżej 20 000 Hz

(górne partie zakresu rzędu 10^9 Hz określa się też jako hiperdźwięki)

Ultradźwięki o częstotliwościach rzędu 10 GHz – 100GHz są obecne w sieciach krystalicznych jako wynik drgań cieplnych cząsteczek

Wytwarzanie : generatory mechaniczne (syreny, gwizdki),
generatory elektromechaniczne (piezostrykcja, magnetostrykcja)

Detekcja: detektory piezoelektryczne, magnetostrykcyjne i optyczne

Zastosowania ultradźwięków

Zastosowania techniczne

nawigacja: echosondy , sonary

defektoskopia: kontrola jakości

pomiary techniczne: przepływu, poziomu, grubościomierze,

inne: obrabiarki, myjnie, czujniki (ruchu, ultradźwiękowy nos, wykrywacz ciąży u zwierząt , repelery, nauka-mikroskopia), homogenizacja, emulgacja, rozpuszczanie i rozpylanie, wspomaganie reakcji chemicznych, odemglanie,

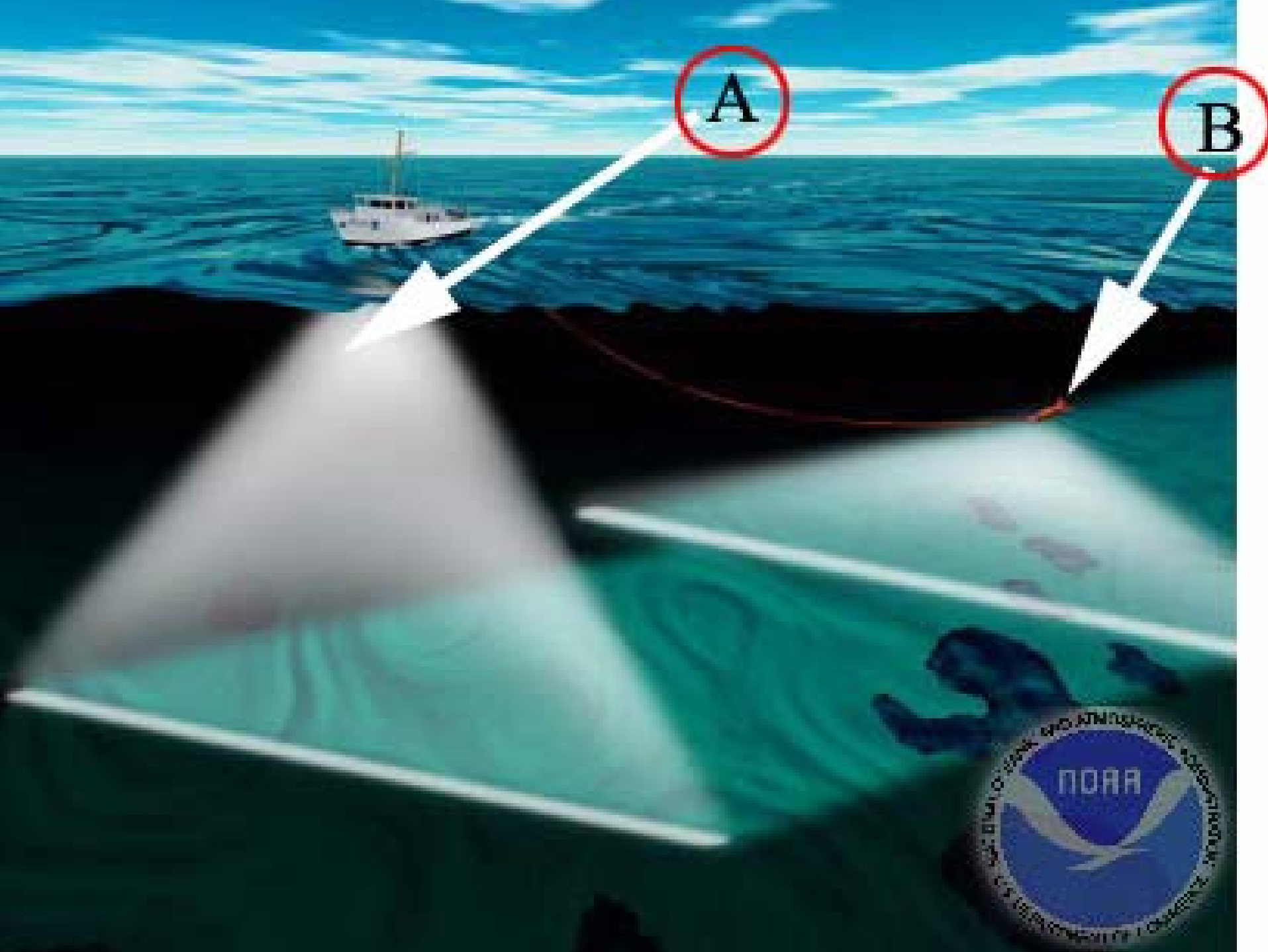
Zastosowania w medycynie

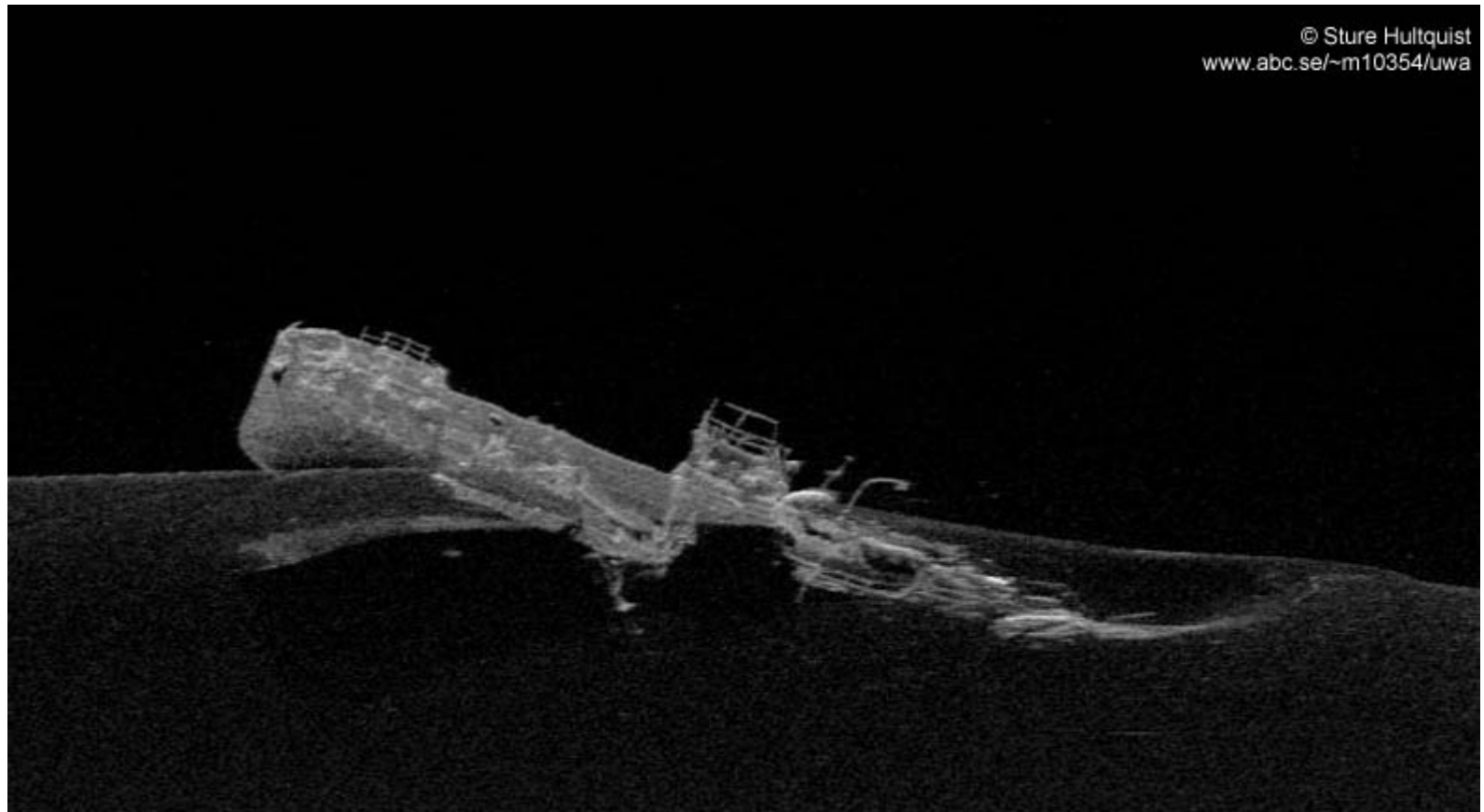
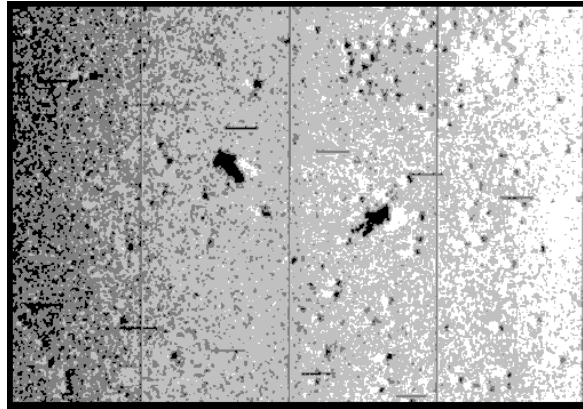
*Fry William James (1928), chirurg amerykański, zapoczątkował
lecnicze stosowanie ultradźwięków*

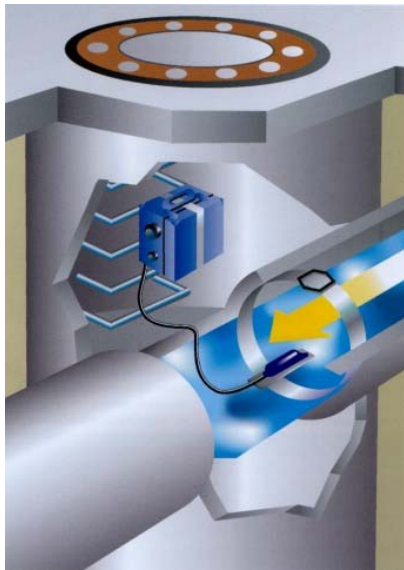
ultrasonografia (usg), iniekcja ultradźwiękową, koagulacja tkanek, stomatologia, zastosowania chirurgiczne

Przykłady zastosowań ultradźwięków











Ultradźwięki w przyrodzie

Wiele zwierząt słyszy fale ultradźwiękowe;
niektóre je emitują i używają w różnych celach.

Najbardziej znanymi przykładami są szczury, delfiny, a zwłaszcza nietoperze posługujące się ultradźwiękami do echolokacji (dźwiękowy radar).



Nietoperze do orientacji w ciemności wytwarzają dźwięki o częstotliwości 20 do 80 kHz, a niektóre nawet od 120 do 210 kHz. Polujący nietoperz emituje 5 do 10 impulsów na sekundę; po zlokalizowaniu np. lecącego owada liczba impulsów wzrasta do 15-50 na sekundę, a w kolejnej fazie do 200 impulsów na sekundę. Orientacja zwierzęcia jest bardzo precyzyjna.

